

粒子と共鳴準位の混合効果について

益川 敏 英

名古屋大学 物理教室

1967. 2.

## § 1 序

近年素粒子物理学において多くの発見がなされた。SU(6)-理論<sup>1)</sup>は質量の軽・重粒子 Octet Baryon と Decuplet Baryon をスピンを考慮に入れて "56-plet" に体系化し、分類することに成功した。このことは小等量の重粒子が urbaryon から成ることを示唆している。

一方において重粒子の分析等からも明らかとなった、Yukawa 相互作用が中間子と重粒子の間には存在しており、この Yukawa 相互作用が SU(6)-対称性と相容れなければならないことは、SU(6)-対称性の理論が提案されると同時に多くの人々により指摘された。

この問題を説明するために Okunski と Toyoda<sup>2)</sup> は複合模型の立場にたって、次のように考えた。あるいは "urbaryon の間には働く相互作用ハミルトニアンは次のように = の部分に分けることができる。

$$H_{int} = H_I^{int} + H_{II}^{int}$$

ここで  $H_I$  は SU(6)-不変な部分であり、 $H_{II}$  はそうでない部分を表わしている。Yukawa 相互作用は SU(6) 対称性を破る部分  $H_{II}$  から導かれると考えられる。この故にまず最初に  $H_{II}$  により urbaryon から核子が構成され、質量スペクトルが決まられる。そして小等量が  $H_{II}$  により中間子の雲を着る。このとき  $H_{II}$  によって重粒子の質量スペクトラムは多少修正されても質的変化はまたさもないと考える。

しかしながら Yukawa 相互作用は十分に弱いとは考えられない。実際には Chew<sup>3)</sup> は static meson theory を使って、パイオン( $\pi$ )と核子(N)の散乱においてアイソスピオン  $I = \frac{3}{2}$ , 角運動量  $J = \frac{3}{2}$  の状態での位相のずれが  $\frac{\pi}{2}$  を切ることが出たことを示した。同じ結果が static<sup>4)</sup> あるいは相対論的<sup>5)</sup>な分散式を用いた理論で得られている。この場合  $\pi$ -N 散乱における (3,3) 状態に = の共鳴状態が期待出るともいえる。一つは  $H_{II}$  から作られ、もう一つは中間子-核子間

相互作用から作られる。ここで前者をタイプIと見かけ、後者をタイプIIと見る。もしタイプIの共鳴状態が Yukawa 相互作用を通して他の重粒子や中間子と作用し合ったならば、タイプIとタイプIIの共鳴状態は混合が生ずるのである。この混合のエネルギーはタイプIIの共鳴状態を共鳴させているエネルギーと同じほどの大きさである。両者が  $H_2$  を生ずるエネルギーであるか故に。

このような状況の下で共鳴状態のどのようなものが期待出来るであろうか？ 同じチャネルに  $\Rightarrow$  の共鳴状態が現われるであろうか？ 又は現われるのであろうか？ 又実際に観測されていいる重粒子の質量スペクトラムの中には同じチャネルの中で  $\Rightarrow$  の共鳴状態が存在している例が9つ(知られている。  
 $(S=0, I=\frac{1}{2}, J=\frac{1}{2}^+$  で  $N(940)$  と  $N^*(1400)$  .  $S=0, I=\frac{1}{2}, J=\frac{1}{2}^-$  で  $N^*(1570)$  と  $N^*(1700)$  .  $S=-1, I=0, J=\frac{1}{2}^-$  で  $\Lambda^*(1405)$  と  $\Lambda^*(1670)$  .  $S=-1, I=0, J=\frac{3}{2}^-$  で  $\Lambda^*(1520)$  と  $\Lambda^*(1600)$  ) どのような状況の下で  $\Rightarrow$  のチャネルの中でタイプIとタイプIIが共存出来るであろうか？ この等の問題を研究するためには、これらの系を数学的に取り扱わなければならない。

著者はかつて次のような系でタイプIとタイプIIの共鳴状態が共存しているときに生ずる混合の効果を調べようと考えた。ここで  $\Rightarrow$  は  $\Rightarrow$  には従って static 近似が使われるか 十分一般的方法で  $\Rightarrow$  の混合の効果が調べられる。そして具体的な存問題に適用する  $\Rightarrow$  が出来るように、十分よい精度で近似解が求められる。

ここで  $\Rightarrow$  は  $\Rightarrow$  は 核子  $N_0$ , 裸の  $(3,3)$  粒子  $\Delta_0$  と  $\pi$ -中間子  $\pi$  の系に話をかき"ることとする。  $\Rightarrow$  は  $SU(6)$  不変な力  $H_2$  (より  $urbaryon$  から構成されていると考えられる。  $\Rightarrow$  は  $\Rightarrow$  の間に次の Yukawa 相互作用が存在するものとする。

$$N_0 \cdot N_0 \cdot \pi, \Delta_0 \cdot N_0 \cdot \pi, \Delta_0 \cdot \Delta_0 \cdot \pi$$

$N_0, \Delta_0, \pi$  は  $H_2$  (より  $urbaryon$  の十分よい結合系と考えること

が出来るので"Yukawa 相互作用"において"素粒子"として取りあつかえると仮定する。

§2 で 我々は 中間子論を基にして  $\pi-N_0$  と  $\pi-\Delta_0$  の散乱振動に対する 連立積分方程式を提案し, Yukawa を十分意味のある近似で解く方法を提案する。 §3 において,  $\chi$  の積分方程式より導出される解の一般的性質より 混合の効果についての議論がなされる。

最後に Appendix A と B で 我々の近似についての議論と  $\chi$  の近似の下での解の具体的な形が与えられる。

## §2 混合の効果についての定式化

我々は特に低いエネルギー領域で議論するから, static 近似を採用する。この近似で  $N_0, \Delta_0$  と  $\pi$  の相互作用は次のように表わされる。

$$H_{int} = \frac{1}{3\pi} \sum_{i,\alpha} \int dk \cdot k^2 u(k) \omega_k^{-\frac{1}{2}} a_k^{i\alpha} \left[ \frac{f}{m_\pi} \sigma_i \tau^\alpha + \frac{g}{6} \frac{1}{m_\pi} (\kappa^i \lambda^\alpha + \kappa^{*i} \lambda^{*\alpha}) + \frac{4}{9} \cdot \frac{h}{m_\pi} \mu^{i\nu\alpha} \right] \quad (1)$$

ここで

$$a_k^{i\alpha} = \sqrt{\frac{3}{4\pi}} \int d\omega \omega d\psi i k^i \pi^\alpha(\vec{k}) \quad (2)$$

(1)-式'の右辺の括弧内の  $\sigma$ ,  $\tau$ ,  $\mu$  三項はそれぞれ  $N_0-N_0-\pi$ ,  $N_0-\Delta_0-\pi$ ,  $\Delta_0-\Delta_0-\pi$  相互作用に対応し,  $\chi$  の強さを  $f, g, h$  で表わすとしている。ここで (1)-式'の  $\kappa, \omega_k, m_\pi$  は  $\pi$ -中間子の運動量, エネルギー, 質量である。マトリックス  $\sigma, \kappa, \mu$  はスピニ空間でのマトリックスであり,  $\tau, \lambda$  と  $\nu$  はアイソスピニ空間でのそれである。  $\chi$  の具体的な表示は次のように与えられる。

$$\sigma^1 = \tau^1 = \begin{pmatrix} 0 & 1 \\ 1 & 0 \end{pmatrix}, \quad \sigma^2 = \tau^2 = \begin{pmatrix} 0 & -i \\ i & 0 \end{pmatrix},$$

$$\sigma^3 = \tau^3 = \begin{pmatrix} 1 & 0 \\ 0 & -1 \end{pmatrix},$$

$$\kappa^1 = \lambda^1 = \begin{pmatrix} \sqrt{3} & 0 & -1 & 0 \\ 0 & 1 & 0 & -\sqrt{3} \end{pmatrix}, \quad \kappa^2 = \lambda^2 = \begin{pmatrix} \sqrt{3}i & 0 & i & 0 \\ 0 & i & 0 & \sqrt{3}i \end{pmatrix},$$

$$\kappa^3 = \lambda^3 = \begin{pmatrix} 0 & -2 & 0 & 0 \\ 0 & 0 & -2 & 0 \end{pmatrix},$$

$$\mu^1 = \nu^1 = \frac{1}{2} \begin{pmatrix} 0 & \sqrt{3} & 0 & 0 \\ \sqrt{3} & 0 & 2 & 0 \\ 0 & 2 & 0 & \sqrt{3} \\ 0 & 0 & \sqrt{3} & 0 \end{pmatrix}, \quad \mu^2 = \nu^2 = \frac{1}{2i} \begin{pmatrix} 0 & \sqrt{3} & 0 & 0 \\ -\sqrt{3} & 0 & 2 & 0 \\ 0 & -2 & 0 & \sqrt{3} \\ 0 & 0 & -\sqrt{3} & 0 \end{pmatrix}$$

$$\mu^3 = \nu^3 = \frac{1}{2} \begin{pmatrix} 3 & & & \\ & 1 & & \\ & & -1 & \\ & & & -3 \end{pmatrix}$$

$\pi^\alpha(k)$  なる量は  $\pi$ -中間子の場のオペレーターであり、 $u(k)$  は全相互作用に關して等しくとり出される形状因子である。この形は普通よく取られる形のものが使われる。static 近似においては  $N_0 - N_0$  と  $N_0 - \Delta_0$  との  $\pi$ -中間子の相互作用は p-波でしか作用せず、かつ  $\Delta_0 - \Delta_0$  に対しては f-波も許される。しかし低いエネルギーでは p-波に比べ f-波は重要でないと考えられるので f-波は省略する。

B.  $-\pi$  散乱を記述する振中は 図 1 で 図示される積分方程式を満足する。

図 1

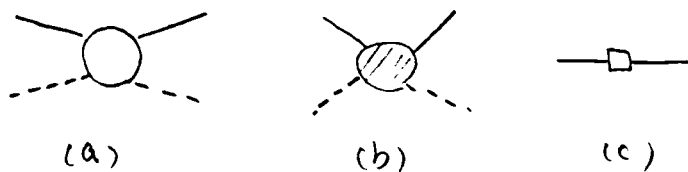


図 2.

図2のグラフ(a)は外線に...がある自己エネルギーダイアグラムも含まれる全てのFeynmanダイアグラムであり、この論文で計算しようとしている振中に対応する。グラフ(b)は一本の重粒子内線、又は一本の重粒子内線と一本のπ-中間子内線を切ったとき、そのダイアグラムがけして、初期状態と終状態の二つの部分に分かれてしまうことのないFeynmanダイアグラムの全ての和である。グラフ(c)は全ての自己エネルギーダイアグラムを含む重粒子の伝播函数に対応する。図々々図1で明示される積分方程式を次のように近似して解こう。

(i) 自己エネルギーグラフは二個以上のπ-中間子を含むダイアグラムの和で置き変える。

$$\text{---} \square \text{---} = \text{---} + \text{---} \text{---} \text{---} \square \text{---}$$

図 3

(ii) グラフ(b)は図4で示されるように近似する。

$$\text{---} \text{---} \text{---} \text{---} = \text{---} \text{---} \text{---} \text{---} + \text{---} \text{---} \text{---} \text{---}$$

図 4

(iii) 図4の右辺第一項に現われたバーテックスは図5で示されるように近似する

$$\text{---} \text{---} \text{---} \text{---} = \text{---} \text{---} \text{---} \text{---} + \text{---} \text{---} \text{---} \text{---}$$

図 5

近似(ii), (iii)と(iii)により計算に取り入れられなかったダイアグラムは中間状態のエネルギーがエネルギーレベルから大きく離れるのでその寄与は小さいと考えられる。

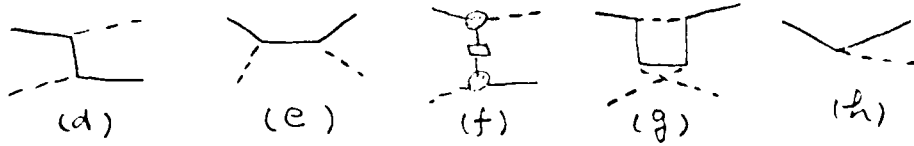


図 (6)

我々の近似は グラフ (b) を グラフ (d) で置き換え、 $B_0$  を  $N_0$  に制限する  
ことにより Chew の近似となる。 (ii) と (iii) の近似を取ることはより厳密の  
近似は 図 1 の 括弧内の グラフ に 対応する 積分核 において 2-order  
より 正確 となる。

図 1 で 示された 積分方程式 は 次のように 書ける

$$\varphi_{ab}^A(E, P, g) = K_{ab}^A(E, P, g) + \sum_c P \int dk \frac{k^4 u^2(k)}{3\pi \omega_k} K_{ab}^A(E, P, g) \\ \times S_c(E - \omega_k) \varphi_{cb}^A(E, P, g), \quad \dots \quad (5)$$

ここで  $\varphi^A, K^A$  は グラフ (a) と、 グラフ (b) と (e) の 和 に 対応する  
散乱振幅である。  $S_c$  は グラフ (c) により 表わされる 伝播函数  
である。 (5)-式 において  $E$  は 全エネルギー であり  $P$  と  $g$  は それ  
ぞれ 終又は始状態の  $\pi$ -中間子の 運動量を 表わす。 上付添字  
 $A$  は 考えている フェルミオンの マイソスピンの 全角運動量を 表わす。 終又は  
始状態は 添字  $a(b)$  で 区別する。 すなわち  $a=1$  のとき  $N_0$  状態  
 $a=2$  のとき  $\Delta_0$  状態 を 表わす。 又 同じ文字  $a(b)$  が  $N_0$  と  $\Delta_0$  の  
区別にも 使われる。

(5)-式の 被積分函数は  $k^4 u^2(k)$  なる 因子 を もっており、 $u$  の 因子  
は  $k$  の ある 領域で 大きな 値 を もつ。 この ため に 厳密に この 因子 を  
 $\delta$ -函数  $\eta \delta(k - k_0)^*$  で 置き換える ことが 十分よい 近似で 出来る。  
ここで

$$k_0 = (\omega_0^2 - m_\pi^2)^{1/2}$$

\* Chew は Fredholm 展開の 一次まで を 使って (5)-式 に 類似する 積分  
方程式 を 解いた。<sup>3)</sup> のち に 同じ 方程式 を Gammel が 数値的に 解き 二つの  
解は より一致を見た。 この 一致は Fredholm 展開の 高次数 項の 寄与が  
小さい ことを 意味する。 これは ここで 提案された 近似の 正当性を 示唆  
する。 (この 近似では Fredholm 展開の 高次数 は 消える。 又 高次数 が  
消える ことは 積分核が  $\delta$ -函数的 である ことを 意味する)

$$\omega_0 = \eta' / \eta ,$$

$$\eta = \frac{1}{3\pi} \int dk \frac{k^4}{\omega_k} u^2(k) ,$$

$$\eta' = \frac{1}{3\pi} \int dk \cdot k^4 u^2(k) .$$

(くわしい議論は Appendix A で存在する。)

すると (5)-式は 次のように存在する。

$$\begin{aligned} \varphi_{ab}^A(E, P, \delta) &= \kappa_{ab}^A(E, P, \delta) + \eta \sum_c \kappa_{ac}^A(E, P, k_0) \mathcal{F}_c(E - \omega_0) \\ &\times \varphi_{cb}^A(E, k_0, \delta) . \end{aligned} \quad (6)$$

$\kappa^A$  と  $\mathcal{F}_c$  の具体的な表示は Appendix B で与えられる。

$I=J=1/2$  ( $A=(1,1)$ ) 4π-ネリ または  $I=J=3/2$  ( $A=(3,3)$ ) 4π-ネリ  
に對し, (6)-式の解は次のように存在する。

$$\varphi_{ab}^A = N_{ab}^A / D^A \quad (7)$$

$$D^A = (E - mA) D_0^A - \gamma^A \quad (8)$$

ここで  $m^{(1,1)}$  は  $N_0$  の質量  $\varepsilon$ ,  $m^{(3,3)}$  は  $\Delta_0$  の質量を表わす。

よして  $D^A / (E - mA)$  は  $1 - \eta \cdot \kappa(E, k_0, k_0)$  の行列式で定義され  
 $D_0^A$  は 図 6 の グラフ (e) の寄与を  $1 - \eta \cdot \kappa(E, k_0, k_0)$  が与えりとの "た  
よみの" に対応する。  $\gamma^A$  の定義は Appendix B に於て存在する。

$\gamma^A$  は 次の二つの状態の間の混合のエネルギーの二乗に対応する。この二  
の状態は 一つは "ガ" の  $\Delta_0(N_0)$  であり, もう一つは  $\Delta_0(N_0)$  状態が  
発見されることの存在状態 (この存在状態) である。  $D^A, D_0^A, \gamma^A$  と

$N_{ab}^A$  は Appendix B により具体的に示される。 (5)-式に直接 Fredholm  
の方法を応用するならば "近似存在" の  $D^A, D_0^A, \gamma^A$  に對し 同様に  
与え等か (8) 式を満足することをたしかめることが出来る。 又, (5)-式  
の解は  $B_0$ -π の散乱振幅を表わして "るが, 重粒子 B のくりこみ係数  $Z_B$   
( $B_0$  に對する現実の重粒子を B で表わす) 倍しておけば " 現実の  $B$ -π



の散乱振幅となる。

B-π 散乱の位相のずれは次のように表わされる。

$$(\tan \delta^A)_{ab} = -\pi \left( \frac{w_p w_b}{p q} \cdot z_2^a z_2^b \right)^{1/2} \varphi_{ab}^A(E, p, q) V(p) V(q),$$

$$V(p) = \frac{1}{\sqrt{3\pi}} \frac{p^2}{w_p^{1/2}} \kappa(p)$$

$$z_2^a = \lim_{E \rightarrow m_r^a} \frac{E - m_r^a}{E - m^{Aa} - \gamma^{Aa} / D_0^{Aa}}$$

ここで  $m_r$  は B の質量、 $A_a$  は  $B^a$  と同じ量子数をもった中間子を表わす。くりこまれた結合定数  $f_r, g_r$  と  $h_r$  はくりこまれた  $f, g$  とから次のように表わされる。

$$f_r = (z_1^{11})^{-1} z_2^1 f,$$

$$g_r = (z_1^{21})^{-1} (z_2^1 z_2^2)^{1/2} g$$

$$h_r = (z_1^{22})^{-1} z_2 \cdot h.$$

ここで  $(z_1^{ab})^{-1}$  は次の式で表わされる。

$$(z_1^{ab})^{-1} = [N_{bb}^{Aa}(m_r^a, im\pi, im\pi) / D_0^{Aa}(m_r^a)]^{1/2} \Gamma_{ba}^{-1}$$

$$\Gamma = \begin{pmatrix} 3f & g \\ 2g & \frac{5}{3}h \end{pmatrix}$$

ここで次に  $D_0^A$  の物理的意味を考へよう。(5)-式'の Born 項とくりこみ項の積分核から グラフ(e) の寄与を取りのぞいたとき、その解  $\varphi_0^A$  は次のように表わされる。

$$\varphi_0^A = \frac{N_0^A}{D_0^A} \quad \text{--- (9)}$$

( $N_0^A$  の具体的な表示は Appendix B で与える) 解  $\varphi_0^A$  はその端点積分方程式からも分るよう (= 図 2 の (b) で表わす) グラフのくりがえしの和である。すなわち今考えている 4π 粒子 (= 917° E の粒子) が存在するときの散乱振幅がある。故に  $\varphi_0^A$  の極で  $\varphi_0^A$  が上向きに  $\pi/2$  を切る位相のずれに対処して  $\varphi_0^A$  は  $917^\circ E$  の粒子すなわち  $\pi$ -B Yukawa 相互作用 (interactive force) により作られる粒子に対処する。  $D_0^A$  は  $1 - K_{ab}^A(E, p, \delta)$  よりグラフ (c) の寄与を取りのぞいた積分核  $1 - K_{ab}^A(E, p, \delta)$  の Fredholm の意味での行列式であるが一般的に  $K_{ab}^A(E, p, \delta)$  は  $E \rightarrow \pm\infty$  で 0 に収束することは明らかである。  $D_0^A$  は  $E \rightarrow \pm\infty$  で  $D_0^A \rightarrow 1$  に収束する。故に  $D_0^A$  が 0 点を持つとすれば常に偶数個である。故に  $D_0^A$  のおおよその形は次のように収束する。

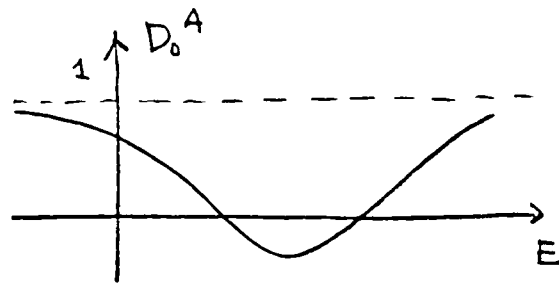


図 7

§ 3.  $\Rightarrow$  の混合する状態の示すまゝ。  
 $\Rightarrow$  の素粒子 A と B が存在して、 $\varphi_0^A$  がたがひをいれ変えしめる力が働いている場合を考へよう。図 8 に対処して A 粒子の伝播関数  $S_A'$  は次のように与えられる。

$$\begin{aligned}
 S_A' &= S_A + S_A \sqrt{\gamma} S_B \sqrt{\gamma} S_A + \dots \\
 &= \frac{E - m_B}{(E - m_A)(E - m_B) - \gamma} \\
 \square &= \frac{1}{A} + \frac{1}{A B A} + \dots
 \end{aligned}$$

図 8

混合のエネルギー  $\sqrt{s}$  の存在により、現実の粒子 A, B の質量は  $\sqrt{s}$  の質量  $m_A$  と  $m_B$  から与えられる。これは次の式で表わされる。

$$(E - m_A)(E - m_B) - \gamma = 0 \quad (10)$$

同様の議論が §2 で述べて来た重粒子 B に対しても行なえる。(10)-式に対処してこれは次のようになる。

$$D^A = (E - m^A) D_0^A(E) - \gamma^A(E) = 0 \quad (11)$$

我々は同じチャネル A にタイプ I とタイプ II の粒子が存在する場合を考える。タイプ II の粒子が作られるほど Yukawa 相互作用が強くなるチャネルにタイプ I が存在する場合に興味をもちているので  $D_0^A$  が 0-点を持つと仮定する。現実の重粒子 B の質量は (11)-式の 0-点として得られる。

(10) 式は混合のエネルギー  $\sqrt{s}$  の大きさを向う常た二つの 0-点が存在したか一方 (11)-式の根の数は常に一定とはかまらな。定性的に 7 図で示されるように E の線形な函数でなっている。観測される重粒子 B の質量は グラフ  $(E - m^A) D_0^A(E)$  と  $\gamma^A(E)$  の交点によって与えられる。これは 8 図に示される。\*)

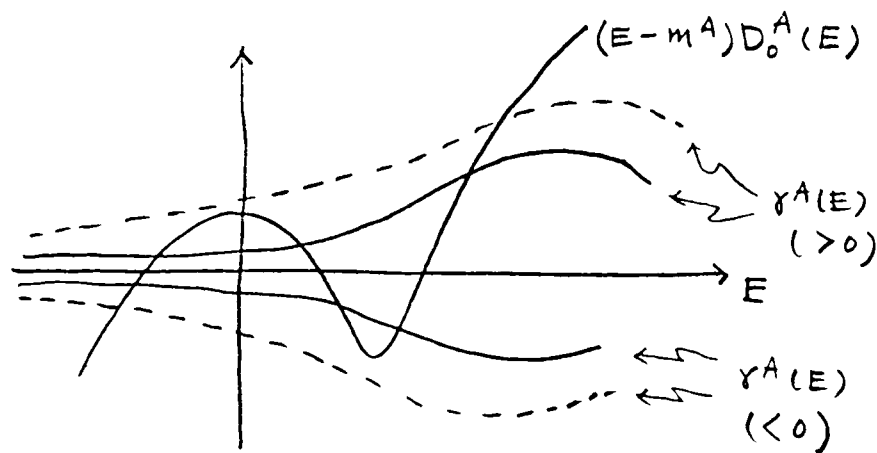


図 9

\*)  $\gamma^A/D_0^A$  は BA の自己エネルギーであり、 $\gamma^A/D_0^A$  の一般的存形より  $E \rightarrow \infty$  として  $\gamma^A/D_0^A \rightarrow 0$ 。この故に交点の数は常に奇数である。  $D^A$  が三つの 0 点をもつとき、その一つは位相のずれが  $\pi/2$  を上方より切る場合に対処している。

図 10 において我々は  $\gamma^A$  に関する二つの混合状態の質量のふるまいを与える。図 10 の A 又は B はそれぞれ  $\gamma^A > 0$  (斥力)  $\gamma^A < 0$  (引力) に対応している。混合のエネルギーの強さが増大して行くと図 9 から分かるように共鳴状態の  $\rightarrow$  は消滅する(左  $\rightarrow$  右)  $\gamma$  の境目での位相のずれのエネルギーによる変化が  $|\gamma^A| > \gamma_0^A$  と  $|\gamma^A| < \gamma_0^A$  に対して ( $\gamma_0^A$  は境目の混合エネルギー) 図 11 で示されている。

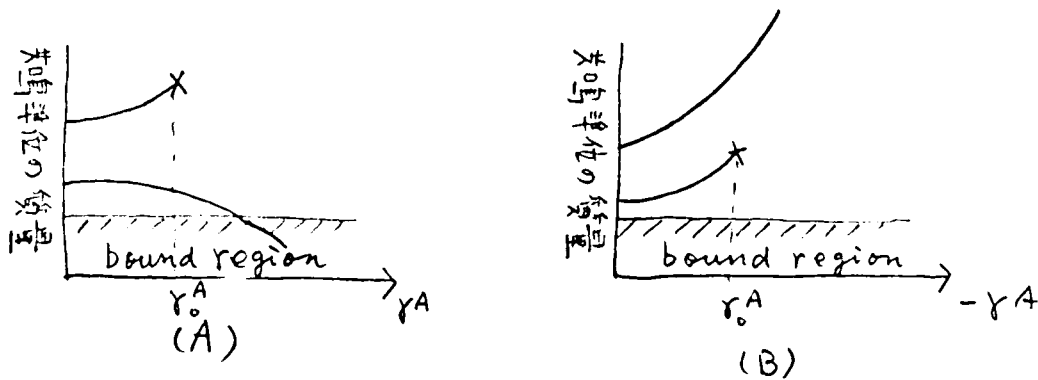


図 10

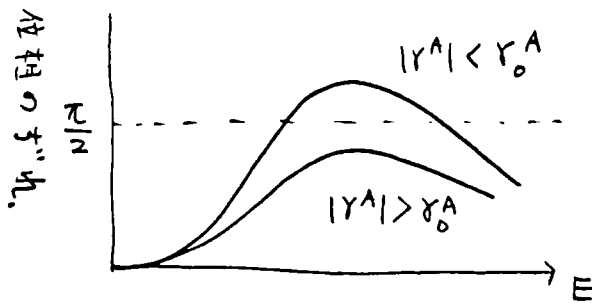


図 11

1400 MeV の  $I=J=\frac{1}{2}$  をもつた p-波共鳴準位が実験的に観測されている。この共鳴準位は上に議論してきた意味での核子の相棒と考へることも出来るかも知れない。今計算中の著者の中間的結果によると  $N_{11}(1400)$  共鳴準位のこの説明は物理的に意味のある結合常数  $\gamma, \gamma_0$  を取ったとき、困難なように思われる。よりくわしい結果が別な所で与えられるであろう。最後に今までの議論は直接相対論に拡張することも出来ることを付記しておく。

おわりは

著者は共同研究者として我々のテーマ“固い粒と柔い粒の混合”  
について共に研究してきた近藤弘樹氏と牧一郎教授に負う所が大きい。  
又坂田昌一教授をはじめに我々研究室の諸氏の有益な議論をはじめ  
過たかゝ励ましに大いに感謝したい。そして有益な助言と議論をして  
下さった沢田昭二助教授と原稿を注意深く読んで下さった島和久博士に  
感謝打した”である。

## Appendix A.

我々はここで (5) 式から (6) 式を導くために適切な近似について議論する。逐次法により (5) 式の  $qA$  を展開したとき、その際生ずる各項を部分分数に分けることにより、各積分の被積分関数は常数次の形になる。

$$\frac{1}{3\pi} \int dk \cdot \frac{k^4 u^2(k)}{A - \omega_k} \quad (A.1)$$

容易に分かるように  $A$  は常 (= 全エネルギー) より小さい。ここで  $A$  が  $k^4 u^2(k)$  が最大値を持つ領域から十分離れていたとき (A.1) は次のように書きなおすことができる。

$$\frac{1}{3\pi} \int dk \cdot \frac{k^4 u^2(k)}{A - \omega_0 - (\omega_k - \omega_0)} = \frac{1}{3\pi} \cdot \frac{1}{A - \omega_0} \int dk \cdot \frac{k^4 u^2(k)}{1 - \frac{\omega_k - \omega_0}{A - \omega_0}} \quad (A.2)$$

$$\approx \frac{1}{3\pi} \cdot \frac{1}{A - \omega_0} \int dk \cdot k^4 u^2(k) \left[ 1 + \frac{\omega_k - \omega_0}{A - \omega_0} \right] \quad (A.3)$$

(A.3) 式の右辺第二項が 0 になるように  $\omega_0$  を選ぶ。

すると

$$\omega_0 = \eta' / \eta$$

$$\eta = \frac{1}{3\pi} \int dk \cdot \frac{k^4}{\omega_k} u^2(k)$$

$$\eta' = \frac{1}{3\pi} \int dk \cdot k^4 u^2(k)$$

$u(k)$  を箱型にとったとき、数値的に計算によると上記で述べた近似は  $A < \frac{\omega_0}{2}$  に対し 10% 以下の精度で成立することが分かる。この故に我々は各積分をその結果として

$\frac{\eta}{A - \omega_0}$  で置き換えることが十分よい近似で ( $A < \frac{\omega_0}{2}$  の領域で) 行なえる。

このように操作のとき各項をまとめなおすことにより、我々は (6) 式を得る。

## Appendix B.

この Appendix において  $K^A$ ,  $\varphi^A$ ,  $D^A$  の具体的な形が与えられた。

$K^A$  は 三つの項  $K_1, K_2$  と  $K_3$  の和で表わされ,  $K_1, K_2, K_3$  はそれぞれ図 6 の (e), (f), (g) に対応する項中である。

$$K^A = K_1^A + K_2^A + K_3^A \quad (B.1)$$

$$(K_1^A)_{ab} = \frac{B_{ab}^A}{E - m^A} \quad (B.2)$$

$$(K_2^A)_{ab} = \sum_c Z_{ca}^*(E - \omega_p, \omega_q) C_{ab}^{c(A)} S_c(E - \omega_p - \omega_q) \times Z_{cb}(E - \omega_q, \omega_p) \quad (B.3)$$

$$(K_3^A)_{ab} = \eta \sum_{\substack{\alpha, \beta \\ i, j, k}} \left[ \frac{c^{i(\alpha, \beta')}}{E - m^i - \omega_p - \omega_0} \cdot \frac{\xi^j}{E - m^j - \omega_p - \omega_q - \omega_0} \cdot \frac{c^{k(\alpha, \beta')}}{E - m^k - \omega_q - \omega_0} \right]_{ab} \times T_{ab}^{\alpha' \alpha} T_{ab}^{\beta' \beta} \quad (B.4)$$

∴

$$\xi^1 = \begin{pmatrix} 1 & 0 \\ 0 & 0 \end{pmatrix}, \quad \xi^2 = \begin{pmatrix} 0 & 1 \\ 0 & 0 \end{pmatrix}.$$

上付索字 A 又は  $(\alpha, \beta)$  は 3次元空間 I と 全角運動量 J の 4次元エネルギーを表わすのに使われる。 ( $\alpha = 2J$ ,  $\beta = 2I$ ) 上付索字  $A_a$  は 重粒子  $B_a^a$  と同じ量子数  $\xi$  をもった 4次元エネルギーを表わす。

(B.2) - 式 の  $B_{ab}^A$  は 次のように書ける。

$$B^{(1,1)} = \frac{1}{m_\pi^2} \begin{pmatrix} 9f^2 & 6gf \\ 6gf & 4g^2 \end{pmatrix}, \quad B^{(3,3)} = \frac{1}{m_\pi^2} \begin{pmatrix} g^2 & \frac{5}{3}gh \\ \frac{5}{3}gh & \frac{25}{9}h^2 \end{pmatrix}$$

その他は全部 0 行列である。

$C^A$  は 次の式で決められる キネマティカル因子を含んだ結合係数の行列である。

$$[k^A(\square)(d)]_{ab} = \sum_c \frac{c_{ab}^{cA}}{E - m^c - \omega_p - \omega_q}$$

具体的には

$$c^{1(1,1)} = \frac{1}{m_\pi^2} \begin{pmatrix} 4f^2, & \frac{5}{3}fg \\ \frac{5}{3}fg, & \frac{4}{9}g^2 \end{pmatrix}, \quad c^{1(1,3)} = \frac{1}{m_\pi^2} \begin{pmatrix} -2f^2, & \frac{2\sqrt{10}}{3}fg \\ \frac{2\sqrt{10}}{3}fg, & -\frac{2}{9}g^2 \end{pmatrix},$$

$$c^{1(1,5)} = \frac{1}{m_\pi^2} \begin{pmatrix} 0, & 0 \\ 0, & \frac{1}{3}g^2 \end{pmatrix}, \quad c^{1(3,3)} = \frac{1}{m_\pi^2} \begin{pmatrix} 4f^2, & \frac{5}{3}fg \\ \frac{5}{3}fg, & \frac{4}{9}g^2 \end{pmatrix},$$

$$c^{1(3,5)} = \frac{1}{m_\pi^2} \begin{pmatrix} 0, & 0 \\ 0, & -\frac{2}{3}g^2 \end{pmatrix}, \quad c^{1(5,5)} = \frac{1}{m_\pi^2} \begin{pmatrix} 0, & 0 \\ 0, & g^2 \end{pmatrix},$$

$$c^{2(1,1)} = \frac{1}{m_\pi^2} \begin{pmatrix} \frac{16}{9}g^2, & \frac{50}{27}gh \\ \frac{50}{27}gh, & \frac{100}{81}h^2 \end{pmatrix}, \quad c^{2(1,3)} = \frac{1}{m_\pi^2} \begin{pmatrix} \frac{4}{9}g^2, & \frac{-10\sqrt{10}}{27}gh \\ \frac{-10\sqrt{10}}{27}gh, & \frac{-110}{81}h^2 \end{pmatrix},$$

$$c^{2(1,5)} = \frac{1}{m_\pi^2} \begin{pmatrix} 0, & 0 \\ 0, & -\frac{20}{27}h^2 \end{pmatrix}, \quad c^{2(3,3)} = \frac{1}{m_\pi^2} \begin{pmatrix} \frac{1}{9}g^2, & \frac{20}{27}gh \\ \frac{20}{27}gh, & \frac{121}{81}h^2 \end{pmatrix},$$

$$c^{2(3,5)} = \frac{1}{m_\pi^2} \begin{pmatrix} 0, & 0 \\ 0, & \frac{11}{27}h^2 \end{pmatrix}, \quad c^{2(5,5)} = \frac{1}{m_\pi^2} \begin{pmatrix} 0, & 0 \\ 0, & \frac{4}{9}h^2 \end{pmatrix}$$

具体的には  $c^{a(\alpha, \beta)} = c^{a(\beta, \alpha)}$  なる関係がある。

$T$  は スピオン または アイソスピオン 空間での crossing 行列である。具体的には

$$T_{ab}^{(1,1)} = \begin{pmatrix} -\frac{1}{3}, & \frac{2}{3} \\ \frac{2}{3}, & \frac{1}{6} \end{pmatrix}, \quad T_{ab}^{(1,3)} = \begin{pmatrix} \frac{2}{3}, & \frac{\sqrt{10}}{6} \\ \frac{\sqrt{10}}{6}, & -\frac{1}{3} \end{pmatrix}$$



$$T_{ab}^{(1,5)} = \begin{pmatrix} 0 & 0 \\ 0 & \frac{1}{2} \end{pmatrix}, \quad T_{ab}^{(3,1)} = \begin{pmatrix} \frac{4}{3} & \frac{\sqrt{10}}{3} \\ \frac{\sqrt{10}}{3} & -\frac{2}{3} \end{pmatrix},$$

$$T_{ab}^{(3,3)} = \begin{pmatrix} \frac{1}{3} & -\frac{2}{3} \\ -\frac{2}{3} & \frac{11}{15} \end{pmatrix}, \quad T_{ab}^{(3,5)} = \begin{pmatrix} 0 & 0 \\ 0 & \frac{2}{5} \end{pmatrix},$$

$$T_{ab}^{(5,1)} = \begin{pmatrix} 0 & 0 \\ 0 & \frac{3}{2} \end{pmatrix}, \quad T_{ab}^{(5,3)} = \begin{pmatrix} 0 & 0 \\ 0 & \frac{3}{5} \end{pmatrix},$$

$$T_{ab}^{(5,5)} = \begin{pmatrix} 0 & 0 \\ 0 & \frac{1}{10} \end{pmatrix}.$$

□(5) に従って  $Z_{ab}(E, \omega_p)$  を次のように定義する。

$$Z_{ab}(E, \omega_p) \Gamma_{ab} = \Gamma_{ab} + \eta \sum_{i,b} \frac{c_{ac}^{i(A_b)}}{E - m^i - \omega_p - \omega_b} \cdot \frac{1}{E - m^c - \omega_b} \Gamma_{cb} \quad (B.5)$$

ここで  $\Gamma$  は □(6) の (2) に対応する vertex 函数：

$$\Gamma_{ab} = \frac{1}{m\pi} \begin{pmatrix} 3f & g \\ 2g & \frac{5}{3}h \end{pmatrix}$$

(B.5) に対し  $Z_{ab}$  は次のように存在。

$$Z_{ab}(E, \omega_p) = 1 + \eta \sum_{i,c} \frac{c_{ac}^{i(A_b)}}{E - m^i - \omega_p - \omega_b} \cdot \frac{1}{E - m^c - \omega_b} \Gamma_{cb} (\Gamma_{ab})^{-1} \quad (B.6)$$

伝播函数  $S_c$  は □3 に対応して、次の式で与えられる。

$$S_a(E) = \left[ E - m^a - \eta \sum_i \frac{B_i^{(A_a)}}{E - m^i - \omega_b} \right]^{-1} \quad (B.7)$$

$$m^i = m^{A_i}$$

最後に、 $D_0^A$ ,  $\gamma^A$ ,  $N^A$  と  $N_0^A$  の具体的な形を与えよう。

$$D_0^A(E) = 1 - \text{Tr} G^A(E) + \det G^A(E) \quad (B.8)$$

$$\gamma^A(E) = \text{Tr} B'^A(E) - \text{Tr} B'^A(E) \text{Tr} G^A(E) + \text{Tr} (B'^A(E) G^A(E)) \quad (B.9)$$

$$D^A(E) = (E - m^A) D_0^A - \gamma^A \quad (B.10)$$

$$\begin{aligned} N_{ab}^A(E, P, \delta) = & \left[ \left\{ \kappa_2^A(E, P, \delta) + \kappa_3^A(E, P, \delta) \right\} D^A(E) + D_0^A(E) B^A \right. \\ & + \eta G^A(E, P, k_0) \left\{ (E - m^A) R^A(E) - \text{Tr} B'^A(E) + B'^A(E) \right\} F^A(E, k_0, \delta) \\ & \left. + \eta B'(E, P, k_0) R(E) F^A(E, k_0, \delta) + \eta G(E, P, k_0) R(E) B^A \right]_{ab} \quad (B.11) \end{aligned}$$

行列  $N_0^A$  は (B.11) の "  $B=0$  と  $L^A$  と  $\eta=1$  " 得られた  $N_{ab}^A$  に等しい。

$G^A(E)$ ,  $G^A(E, P, \delta)$ ,  $B'^A(E)$ ,  $B'^A(E, P, \delta)$  と  $R^A(E)$  は次のように表わされる。

$$F^A(E, P, \delta) = \kappa_2^A(E, P, \delta) + \kappa_3^A(E, P, \delta) \quad (B.12)$$

$$G_{ab}^A(E, P, \delta) = F_{ab}^A(E, P, \delta) S_b(E - \omega_\delta) \quad (B.13)$$

$$G_{ab}^A(E) = \eta G_{ab}^A(E, k_0, k_0) \quad (B.14)$$

$$B_{ab}^A(E, P, \delta) = B_{ab}^A S_b(E - \omega_\delta) \quad (B.15)$$

$$B_{ab}^A(E) = \eta B_{ab}^A(E, k_0, k_0) \quad (B.16)$$

$$R^A(E) = 1 - \eta \text{Tr} G^A(E) + \eta G^A(E) \quad (B.17)$$

## References

- 1) F. Gursey and L. A. Radicati, Phys. Rev. Letters 13 (1964) 173.
- 2) Y. Ohnuki and A. Toyoda, Nuovo Cimento 36 (1965) 1403.
- 3) G. F. Chew, Phys. Rev. 94 (1954) 1748.  
 G. F. Chew, Phys. Rev. 94 (1954) 1755.  
 数値解 (= > "では  
 G. F. Chew, Phys. Rev. 95 (1954) 285  
 F. F. Salzman and J. N. Snyder 95 (1954) 286  
 又は G) を見よ.
- 4) G. F. Chew and F. E. Low, Phys. Rev. 101 (1956) 213.  
 C-L 方程式の数値解 (= > "では  
 G. Salzman and F. Salzman, Phys. Rev. 108 (1957) 1619.
- 5) "多体の位相がある場合の位相"  
 S. C. Franconi and J. D. Walecka, Phys. Rev. 120 (1960) 1486.  
 SU(6) の拡張は  
 A. W. Martin and K. C. Wali, Phys. Rev. 130 (1963) 2455.
- 6) J. L. Gammel, Phys. Rev. 95 (1954) 209.